

Méthodes assistées par ordinateur pour la description rigoureuse d'ensembles atteignables de problèmes linéaires contraints

Ivan Hasenohr

Doctorat sous la direction de Camille Pouchol, Yannick Privat et Christophe Zhang

Université Paris Cité

ANR TRECOS



- 1 Théorie du contrôle
- 2 Non-atteignabilité assistée par ordinateur
- 3 Atteignabilité assistée par ordinateur
- 4 Conclusion

- 1 Théorie du contrôle
- 2 Non-atteignabilité assistée par ordinateur
- 3 Atteignabilité assistée par ordinateur
- 4 Conclusion

Pour $u \in L^2(0, T; \mathbb{R}^m)$, on considère le système contrôlé linéaire en dimension finie suivant :

$$\begin{cases} \dot{y}(t) = Ay(t) + Bu(t) & \forall t \in [0, T] \\ y(0) = y_0 \in \mathbb{R}^n. \end{cases} \quad (S)$$

On note la solution de (S) au temps T ainsi :

$$y(T; y_0, u) = S_T y_0 + L_T u,$$

où $(S_t)_{t \in [0, T]}$ est le semi-groupe engendré par A , et

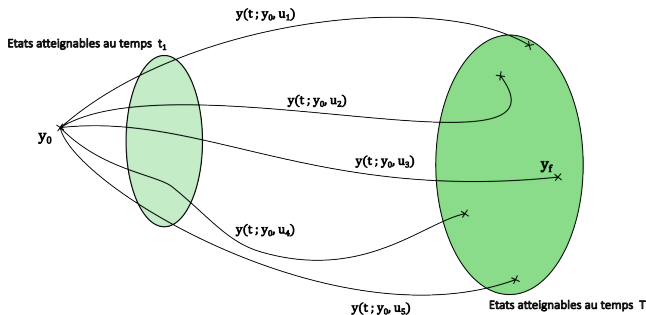
$$L_T : u \mapsto \int_0^T S_{T-t} B u(t) dt.$$

Théorie du contrôle

Atteignabilité

Soit $y_f \in \mathbb{R}^n$, soit $\mathcal{U} \subset L^2(0, T, \mathbb{R}^m)$. On dit que y_f est \mathcal{U} -atteignable pour (S) de y_0 en temps T si :

$$\exists u \in \mathcal{U}, \quad y(T; y_0, u) = y_f \iff (\exists u \in \mathcal{U}, \quad L_T u = y_f - S_T y_0).$$



Par la suite, \mathcal{U} sera supposé convexe et compact.

Contrôlabilité sous contraintes :

-  Sylvain Ervedoza, *Control issues and linear projection constraints on the control and on the controlled trajectory*

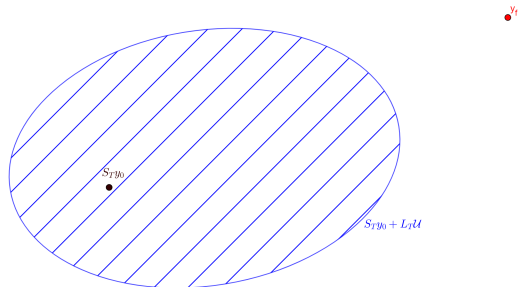
Contrôlabilité via la dualité de Fenchel :

-  J.L. Lions *Remarks on approximate controllability*
-  E.Trélat, G. Wang, Y. Xu, *Characterization by observability inequalities of controllability and stabilization properties*
-  C. Pouchol, E. Trélat, C. Zhang, *Approximate control of parabolic equations with on-off shape controls by Fenchel duality*
-  R.Baier, C. Büskens, I. A. Chahma, M. Gerds, *Approximation of reachable sets by direct solution methods for optimal control problems*

- 1 Théorie du contrôle
- 2 Non-atteignabilité assistée par ordinateur**
- 3 Atteignabilité assistée par ordinateur
- 4 Conclusion

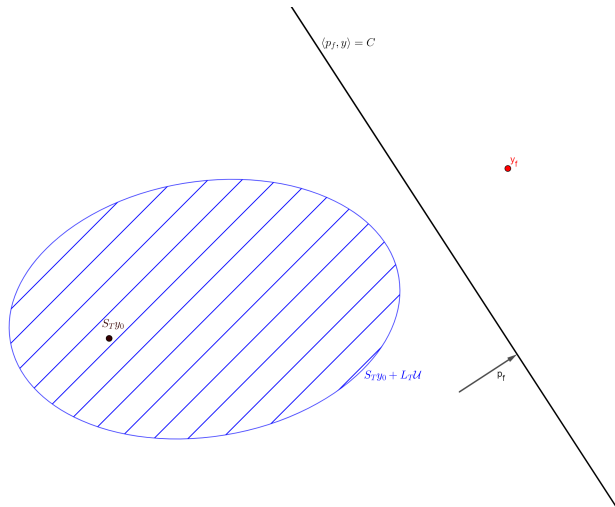
Non-atteignabilité

Approche géométrique



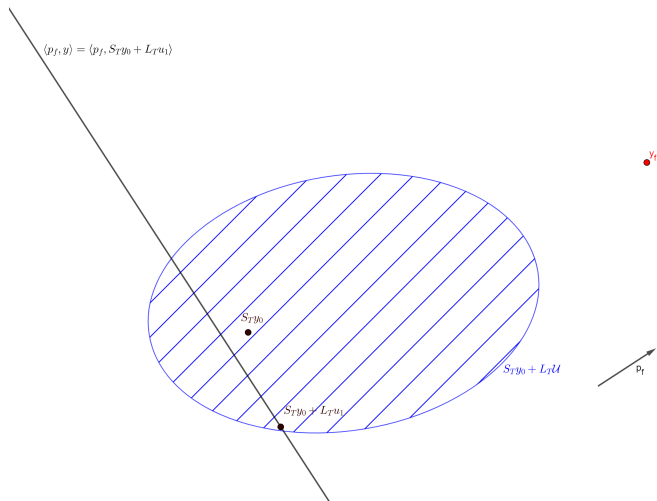
Non-atteignabilité

Approche géométrique



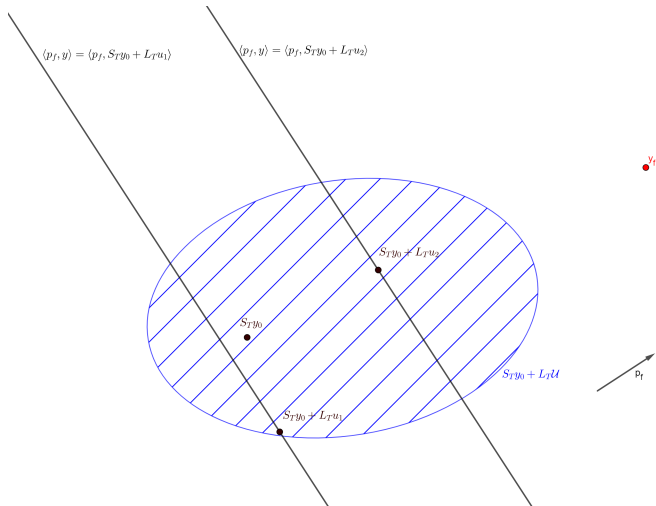
Non-atteignabilité

Approche géométrique



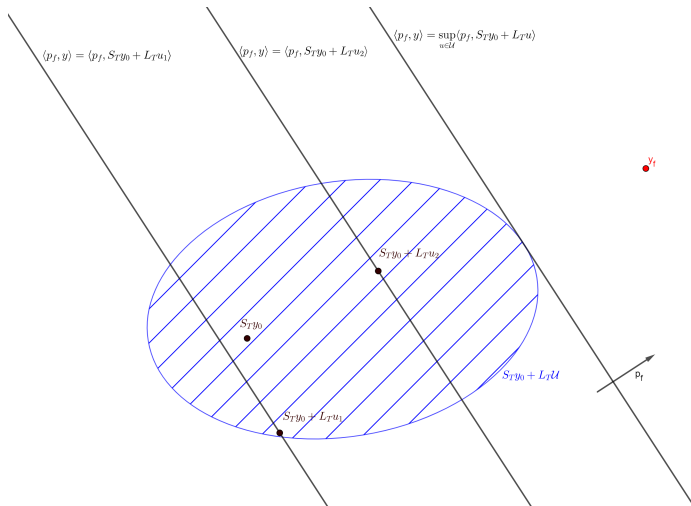
Non-atteignabilité

Approche géométrique



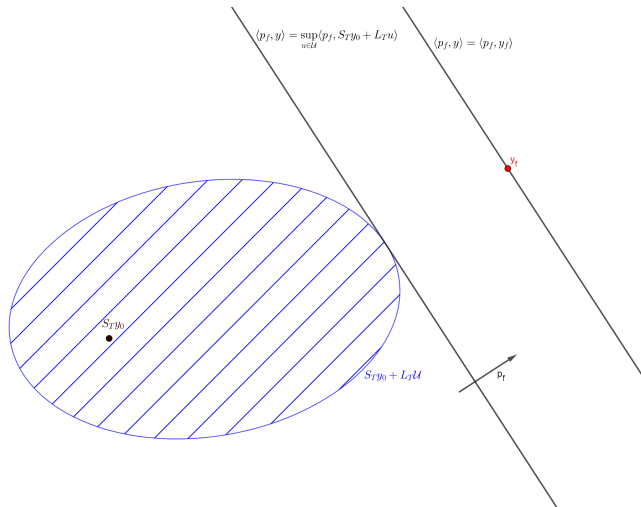
Non-atteignabilité

Approche géométrique



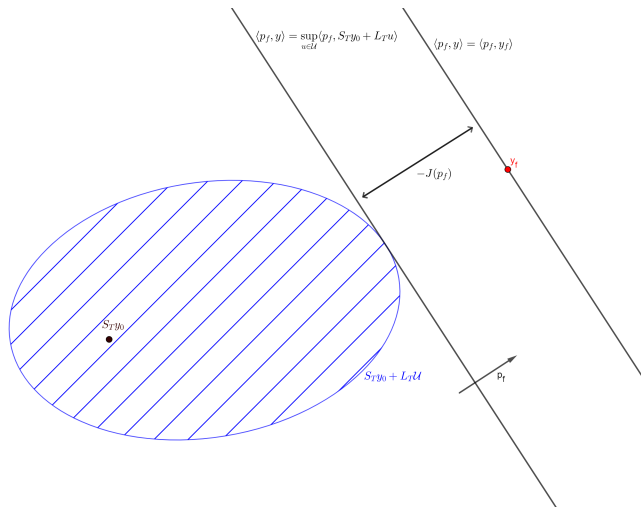
Non-atteignabilité

Approche géométrique



Non-atteignabilité

Approche géométrique



Non-atteignabilité

Fonction support

Pour $p_f \in \mathbb{R}^n$:

$$\sup_{u \in \mathcal{U}} \langle p_f, S_T y_0 + L_T u \rangle = \langle p_f, S_T y_0 \rangle + \sup_{u \in \mathcal{U}} \langle L_T^* p_f, u \rangle.$$

On appelle fonction support de \mathcal{U} et on note :

$$\sigma_{\mathcal{U}} : \begin{cases} L^2(0, T, \mathbb{R}^m) & \rightarrow \mathbb{R} \\ v & \mapsto \sup_{u \in \mathcal{U}} \langle v, u \rangle, \end{cases}$$

Alors :

$$\sup_{u \in \mathcal{U}} \langle p_f, S_T y_0 + L_T u \rangle = \sigma_{\mathcal{U}}(L_T^* p_f) + \langle p_f, S_T y_0 \rangle.$$

Non-atteignabilité

Théorème

On note :

$$J: \begin{cases} \mathbb{R}^n & \rightarrow \mathbb{R} \\ p_f & \mapsto \sigma_{\mathcal{U}}(L_T^* p_f) + \langle p_f, S_T y_0 - y_f \rangle. \end{cases}$$

Théorème

S'il existe $p_f \in \mathbb{R}^n$ tel que $J(p_f) < 0$, alors y_f n'est pas \mathcal{U} -atteignable pour (S) en temps T .

Remarque

Ce résultat est extensible à la dimension infinie.

Pour prouver numériquement qu'un état y_f n'est pas \mathcal{U} -atteignable pour (S) à partir de y_0 en temps T , on utilise la méthode suivante :

- 1 Calcul explicite de $\sigma_{\mathcal{U}}$ (possible pour de nombreux ensembles \mathcal{U} simples)
- 2 discrétisation de la fonctionnelle J
- 3 minimisation de la fonctionnelle discrétisée $J_{\Delta t}$, pour trouver $p_f \in \mathbb{R}^n$ tel que $J_{\Delta t}(p_f) < 0$
- 4 majoration théorique des différentes erreurs commises
- 5 en prenant en compte les erreurs commises, vérification de $J(p_f) < 0$.

On se focalise sur le cas où :

$$\mathcal{U} = \{u \in L^2(0, T; \mathbb{R}^m), \text{p.p. } t \in [0, T], u(t) \in \mathcal{U}_0\},$$

avec $\mathcal{U}_0 \subset B(0, M) \subset \mathbb{R}^m$, $M > 0$ étant fixé. Dans ce cas là, on a, $\forall u \in \mathcal{U}$:

$$\sigma_{\mathcal{U}}(u) = \int_0^T \sigma_{\mathcal{U}_0}(u(t)) dt.$$

J est alors discrétisée, par le schéma d'Euler implicite, en :

$$J_{\Delta t} : \begin{cases} \mathbb{R}^n & \rightarrow \mathbb{R} \\ p_f & \mapsto \Delta t \sum_{i=0}^{N_t-1} \sigma_{\mathcal{U}_0}(BS_{t_{N_t-i-1}, \Delta t}^* p_f) + \langle p_f, S_{T, \Delta t} y_0 - y_f \rangle. \end{cases}$$

On minimise la discrétisation de la fonctionnelle fortement convexe :

$$\tilde{J} : p_f \mapsto J(p_f) + \frac{1}{2} \|p_f\|^2,$$

De plus,

$$\exists p_f \in \mathbb{R}^n, \tilde{J}(p_f) < 0 \iff \exists p_f \in \mathbb{R}^n, J(p_f) < 0.$$

En notant, pour C un ensemble convexe fermé non vide,

$$\delta_C(x) = \begin{cases} 0 & \text{si } x \in C \\ +\infty & \text{si } x \notin C, \end{cases}$$

on a :

$$\inf_{u \in L^2(0,T;\mathbb{R}^m)} \delta_{\mathcal{U}}(u) + \delta_{\{y_f\}}(y(T; y_0, u)) \geq - \inf_{p_f \in \mathbb{R}^n} J(p_f),$$

$$\inf_{u \in L^2(0,T;\mathbb{R}^m)} \delta_{\mathcal{U}}(u) + \frac{1}{2} \|y(T; y_0, u) - y_f\|^2 = - \inf_{p_f \in \mathbb{R}^n} \tilde{J}(p_f).$$

De ces relations on déduit :

$$\exists p_f \in \mathbb{R}^n, \tilde{J}(p_f) < 0 \iff \exists u \in \mathcal{U}, y(T; y_0, u) = y_f \iff \exists p_f \in \mathbb{R}^n, J(p_f) < 0$$

Non-atteignabilité

Différents types d'erreurs

Deux types d'erreurs sont à prendre en compte :

- $e_1 > 0$: les erreurs de discrétisation d'EDO et d'intégration
- $e_2 > 0$: les erreurs d'arrondis commises par l'ordinateur.

Au final :

$$J(p_f) \in [J_{\Delta t}(p_f) - e_1 - e_2, J_{\Delta t}(p_f) + e_1 + e_2],$$

et en particulier :

$$J_{\Delta t}(p_f) + e_1 + e_2 < 0 \implies J(p_f) < 0.$$

Non-atteignabilité

Erreur de discrétisation de l'EDO

Théorème

Considérons l'EDO suivante :

$$\begin{cases} \dot{p}(t) = A^* p(t) & \forall t \in [0, T] \\ p(0) = p_f, \end{cases}$$

et notons $(p_n)_{n \in \llbracket 0, N_t \rrbracket}$ l'approximation de sa solution par le schéma d'Euler implicite. Supposons $-A^*$ $m\alpha$ -accrétif, avec $\alpha \leq \frac{\pi}{2}$. Alors $\forall n \in \llbracket 0, N_t \rrbracket$,

$$\|p(t_n) - p_n\| \leq \Delta t \min \left(\frac{C}{\cos(\alpha)} \|A^* p_f\|, \frac{1}{2} t_n \|(A^*)^2 p_f\| \right),$$

où $C \leq 1 + \sqrt{2}$.

Non-atteignabilité

Erreur de discrétisation de J

Théorème

Sous les hypothèses précédentes, $\forall p_f \in \mathbb{R}^n$:

$$|J(p_f) - J_{\Delta t}(p_f)| \leq \Delta t M \|B\| \left(\frac{1}{2} T \|A\| \|p_f\| + \sum_{n=0}^{N_t-1} \|p(t_n) - p_n\| \right) + \|y_0\| \|p(T) - p_{N_t}\|.$$

En particulier : $|J(p_f) - J_{\Delta t}(p_f)| = O(\Delta t)$.

Non-atteignabilité

Arithmétique d'intervalles

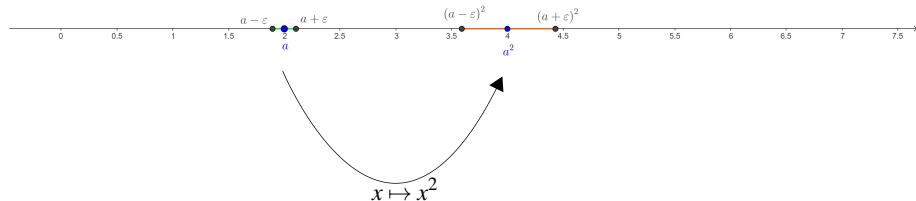
Pour gérer les erreurs d'arrondis effectuées par l'ordinateur, il faut considérer la potentielle erreur et en tenir compte à chaque calcul :



Non-atteignabilité

Arithmétique d'intervalles

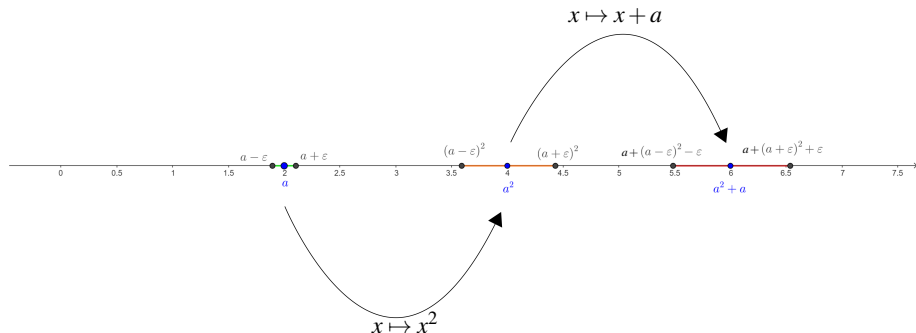
Pour gérer les erreurs d'arrondis effectuées par l'ordinateur, il faut considérer la potentielle erreur et en tenir compte à chaque calcul :



Non-atteignabilité

Arithmétique d'intervalles

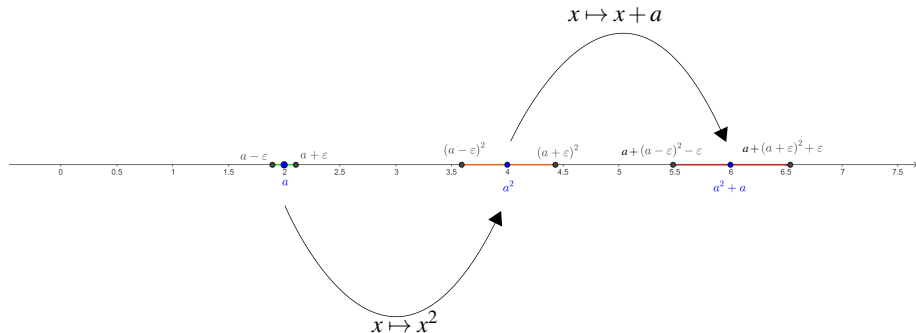
Pour gérer les erreurs d'arrondis effectuées par l'ordinateur, il faut considérer la potentielle erreur et en tenir compte à chaque calcul :



Non-atteignabilité

Arithmétique d'intervalles

Pour gérer les erreurs d'arrondis effectuées par l'ordinateur, il faut considérer la potentielle erreur et en tenir compte à chaque calcul :



Le package Intlab, développé sur Matlab par Siegfried M. Rump, s'en charge numériquement très efficacement.

- 1 Théorie du contrôle
- 2 Non-atteignabilité assistée par ordinateur
- 3 Atteignabilité assistée par ordinateur**
- 4 Conclusion

Atteignabilité assistée par ordinateur

Approche géométrique



Atteignabilité assistée par ordinateur

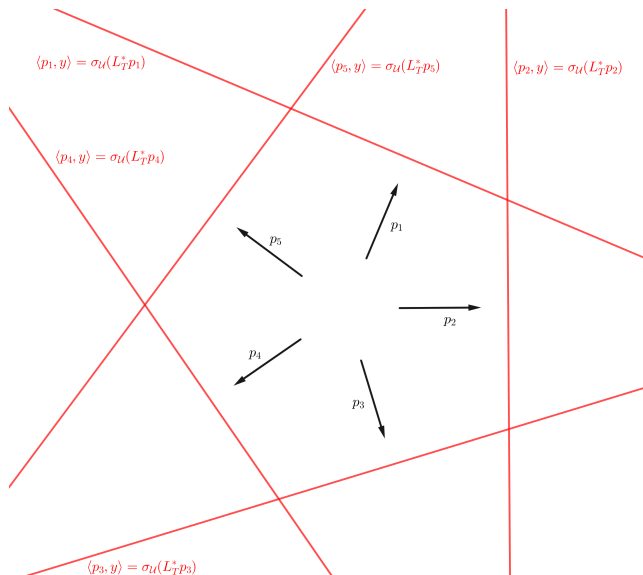
Approche géométrique

$$\langle p_1, y \rangle = \sigma_U(L_T^* p_1)$$



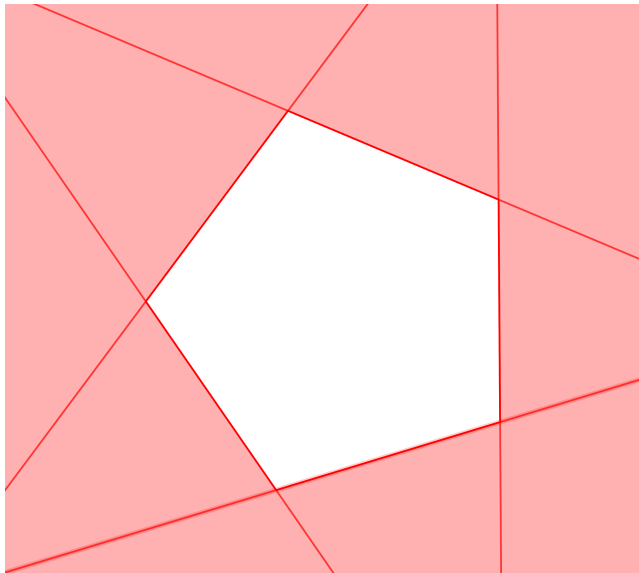
Atteignabilité assistée par ordinateur

Approche géométrique



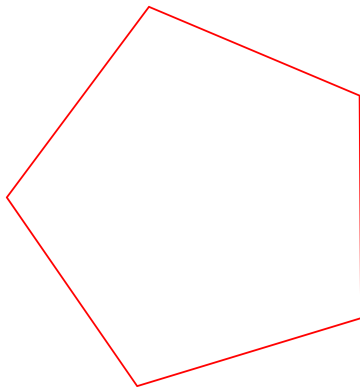
Atteignabilité assistée par ordinateur

Approche géométrique



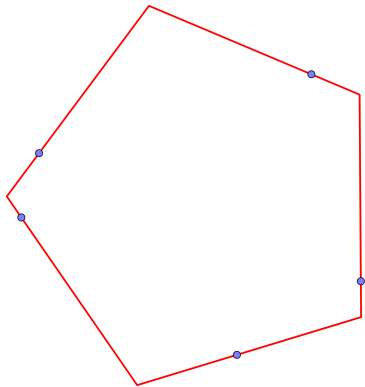
Atteignabilité assistée par ordinateur

Approche géométrique



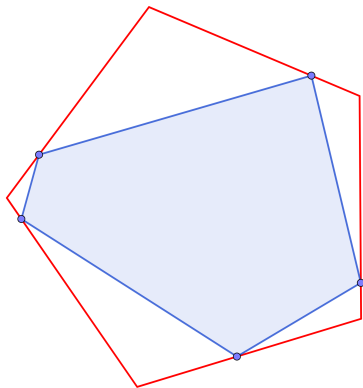
Atteignabilité assistée par ordinateur

Approche géométrique



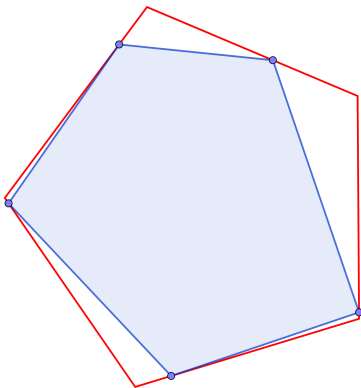
Atteignabilité assistée par ordinateur

Approche géométrique



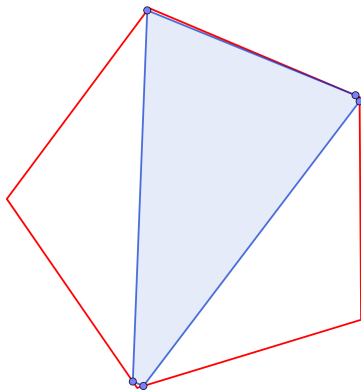
Atteignabilité assistée par ordinateur

Approche géométrique



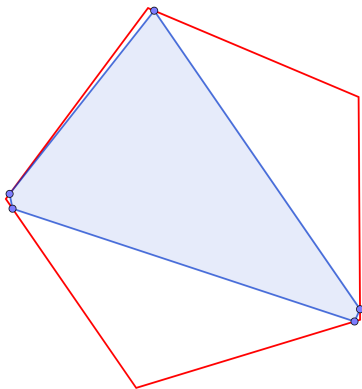
Atteignabilité assistée par ordinateur

Approche géométrique



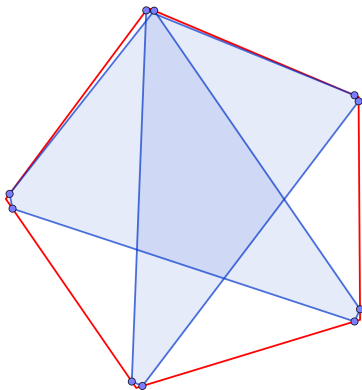
Atteignabilité assistée par ordinateur

Approche géométrique



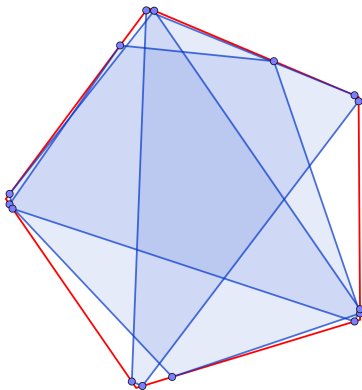
Atteignabilité assistée par ordinateur

Approche géométrique



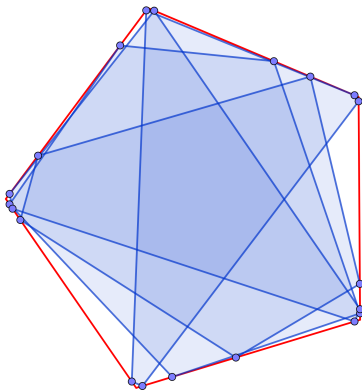
Atteignabilité assistée par ordinateur

Approche géométrique



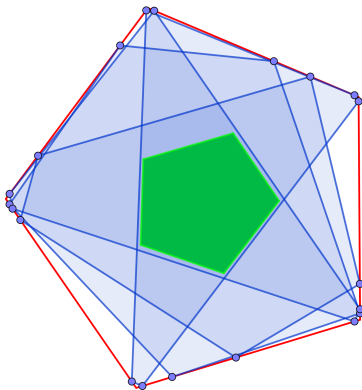
Atteignabilité assistée par ordinateur

Approche géométrique



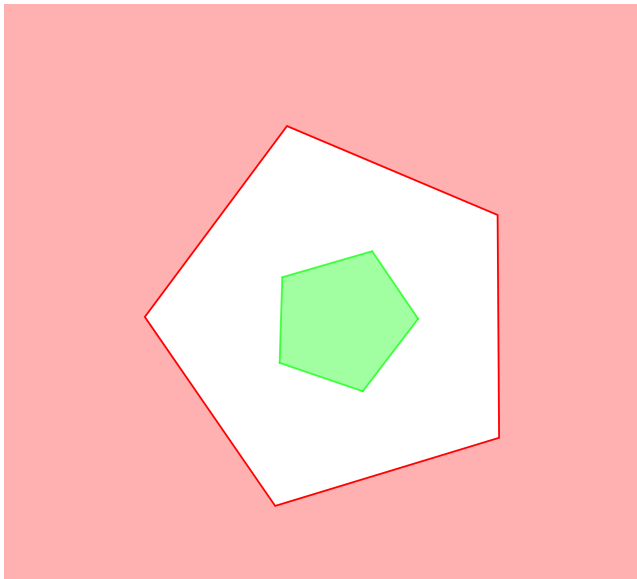
Atteignabilité assistée par ordinateur

Approche géométrique



Atteignabilité assistée par ordinateur

Approche géométrique



Dans les slides suivants, on étudie l'atteignabilité du système suivant :

$$\begin{cases} \dot{y}(t) = Ay(t) + Bu(t) & \forall t \in [0, T] \\ y(0) = y_0, \end{cases}$$

où

$$A = \begin{pmatrix} 0 & 1 \\ 0 & 0 \end{pmatrix}, B = \begin{pmatrix} 0 \\ 1 \end{pmatrix} \text{ et } \mathcal{U} = \left\{ u \in L^2(0, T; \mathbb{R}), \forall t \in [0, T], u(t) \in [-1, 1] \right\}.$$

Dans ce cas, on a :

$$\sigma_{\mathcal{U}} : u \mapsto M \int_0^T \|u(t)\| dt.$$

Pour ce système, on peut d'autre part déterminer explicitement les états atteignables, ce qui nous permet d'évaluer le fonctionnement de nos méthodes numériques.

Atteignabilité assistée par ordinateur

Exemple numérique

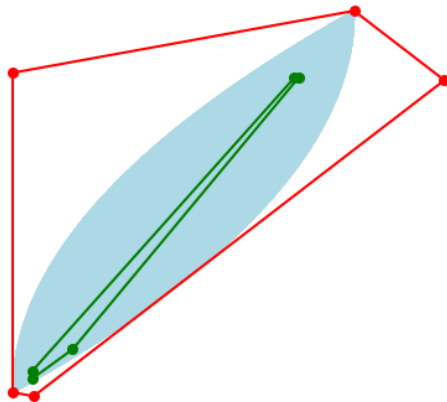


Figure – Approximation de l'ensemble atteignable avec 5 directions de p_f

Atteignabilité assistée par ordinateur

Exemple numérique

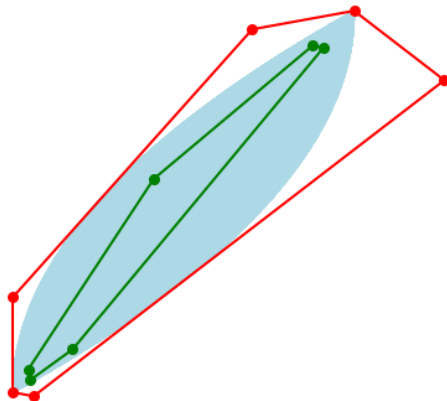


Figure – Approximation de l'ensemble atteignable avec 6 directions de p_f

Atteignabilité assistée par ordinateur

Exemple numérique

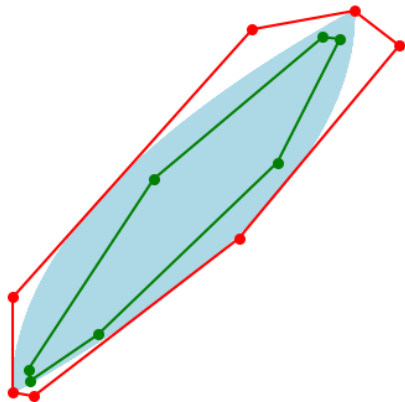


Figure – Approximation de l'ensemble atteignable avec 7 directions de p_f

Atteignabilité assistée par ordinateur

Exemple numérique

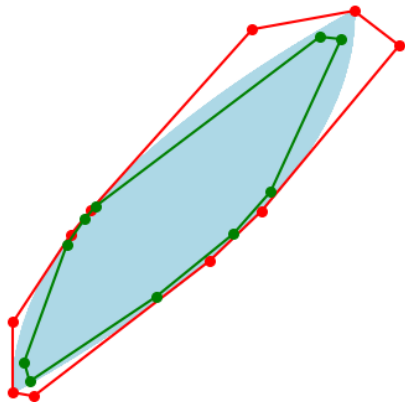


Figure – Approximation de l'ensemble atteignable avec 10 directions de p_f

Atteignabilité assistée par ordinateur

Exemple numérique

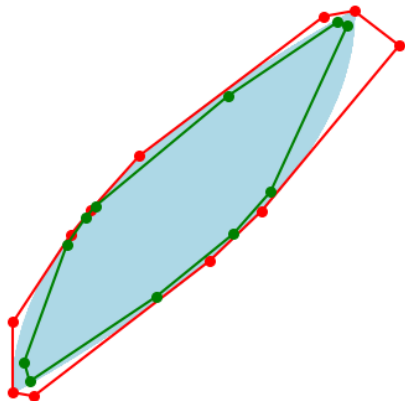


Figure – Approximation de l'ensemble atteignable avec 11 directions de p_f

Atteignabilité assistée par ordinateur

Exemple numérique

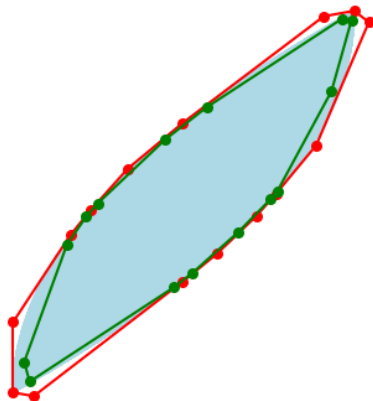


Figure – Approximation de l'ensemble atteignable avec 15 directions de p_f

Atteignabilité assistée par ordinateur

Exemple numérique

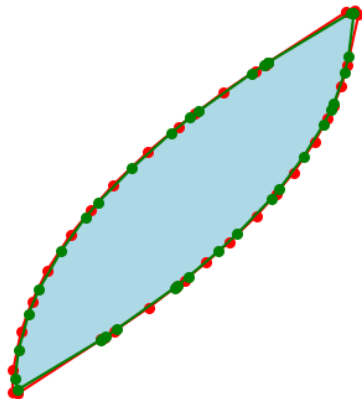


Figure – Approximation de l'ensemble atteignable avec 35 directions de p_f

- 1 Théorie du contrôle
- 2 Non-atteignabilité assistée par ordinateur
- 3 Atteignabilité assistée par ordinateur
- 4 Conclusion

- Non-atteignabilité :
 - minimisation d'une fonctionnelle convexe pour prouver numériquement la non-atteignabilité d'un état
 - potentiellement extensible à la dimension infinie
 - article en cours de rédaction
- Atteignabilité :
 - détermination d'une approximation rigoureuse de l'ensemble atteignable par des polygones intérieurs et extérieurs
 - non-extensible à la dimension infinie